

УДК 550.834:622.12

ФИЗИКО-МАТЕМАТИЧЕСКИЕ МОДЕЛИ ПРОЦЕССА РАСПРОСТРАНЕНИЯ СЕЙСМИЧЕСКИХ ВОЛН В ТРЕЩИНОВАТОМ УГЛЕПОРОДНОМ МАССИВЕ

Анциферов В. А.

(УкрНИМИ НАНУ, г. Донецк, Украина)

У статті дається оцінка доцільності застосування моделей Френкеля-Біо і Гассмана, що є матрицями, котрі пружно-деформуються, заповненими в'язкою рідиною або газом, при проведенні аналізу характеристик сейсмічних полів у тріщинуватому вуглепородному масиві.

The article gives assessment of the appropriateness of using Fraenkel-Biot and Gassmann models, which are elastically deformable matrices filled up with viscous fluid or gas, when making analysis of seismic field characteristics in fractured coal-rock mass.

Планирование рациональной технологии горных работ, параметров и порядка отработки месторождений производится на основе надежного прогноза горно-геологических условий. При этом широко применяются сейсмические методы, теоретическая база которых опирается на модель распространения сейсмических волн в идеально упругой среде. При этом наличие пор и свойства флюида (его плотность, вязкость, модуль объёмной деформации и др.) практически игнорируется. В данной статье дается оценка целесообразности применения моделей Френкеля-Біо и Гассмана представляющих собой упруго-деформируемые матрицы, заполненные вязкой жидкостью либо газом при проведении анализа характеристик сейсмических полей в трещиноватом углепородном массиве.

Подход Біо основан на положениях классической теории уп-

ругости. Для случая двухфазной среды он ввел дополнительные параметры, учитывающие фактор взаимодействия фаз [1]. В одной из первых работ Био [2] получены соотношения между напряжениями и деформациями в двухфазной среде, а чуть позднее Френкелем в работе [3] была впервые рассмотрена теория распространения акустических волн в насыщенной жидкостью пористой среде. Если в первых работах Био среда рассматривалась как однородная и изотропная [4, 5], то в дальнейшем были получены соотношения для случаев анизотропного упругого [6] и вязкоупругого скелета. Несмотря на то, что с момента публикации первых работ Био прошло более 60 лет, они остаются основополагающими работами в области линейной сейсмоакустики пористых материалов.

Био и Френкель теоретически обосновали существование в пористой среде трех типов волн – быстрой продольной (продольная волна I рода), медленной продольной (волна Био или продольная волна II рода) и поперечной волн. Быстрая продольная и поперечная волны подобны волнам в «классической» упругой среде. Они распространяются с небольшим затуханием, вызванным различными механизмами, в том числе взаимодействием фаз [4, 7]. Продольная волна II рода является особенностью пористо-упругой среды. Скорость её распространения существенно меньше, чем у быстрой продольной волны. К тому же, эта волна отличается тем, что быстро затухает. Наиболее значительную роль волны Био играют в случае большой сжимаемости заполняющего поровое пространство флюида, (например, для воздуха либо метана, заполняющего зоны трещиноватости в области влияния геологических нарушений углепородных массивов) [4–5, 7]. При уменьшении пористости среды скорость волны Био снижается, в отличие от быстрой продольной и поперечной волн, для которых скорость увеличивается.

К сожалению, медленную продольную волну сложно обнаружить в естественных условиях по той причине, что она имеет значительно меньшую амплитуду и затухает значительно быстрее, чем быстрая продольная и выделить её на фоне волн иных типов очень трудно. В условиях шахтной пластовой сейсморазведки процесс интерференции колебаний разных типов в угольном пласте-волноводе ещё более усугубит данный фактор. Но при этом, упус-

катель из виду сам факт их существования являлось бы ошибочным подходом. В целом ряде работ показано, что игнорирование продольной волны II рода приводит к существенным ошибкам при оценке затухания продольной волны I рода и поперечной волны [8 – 11].

Угленосные толщи Донбасса представляют собой типичную слоисто-однородную структуру, включающую ритмично чередующиеся различные типы пород. Как правило, мощности угля и породных прослоев на расстояниях порядка базы сейсмических наблюдений (150 – 300 м) для большинства задач можно считать одинаковыми. Поэтому в ненарушенном углепородном массиве характеристики угля и пород можно считать изменяющимися только по направлению перпендикуляра к плоскости напластования. В связи с этим начало координат помещаем в точку возбуждения сигнала. Тогда ось x целесообразно направить на приемник колебаний, ось y – в плоскости напластования перпендикулярно оси x , а ось z – перпендикулярно плоскости напластования.

Система уравнений Био в смещениях имеет вид [4 – 5, 7]:

$$\begin{aligned} \mu \Delta \mathbf{u} + (A + \mu) \text{grad div } \mathbf{u} + Q \text{grad div } \mathbf{w} = \\ = \rho_{11} \frac{\partial^2 \mathbf{u}}{\partial t^2} + \rho_{12} \frac{\partial^2 \mathbf{U}}{\partial t^2} + b_0 \left(\frac{\partial \mathbf{u}}{\partial t} - \frac{\partial \mathbf{U}}{\partial t} \right), \end{aligned} \quad (1)$$

$$\begin{aligned} Q \text{grad div } \mathbf{u} + R \text{grad div } \mathbf{U} = \\ = \rho_{22} \frac{\partial^2 \mathbf{U}}{\partial t^2} + \rho_{12} \frac{\partial^2 \mathbf{u}}{\partial t^2} - b_0 \left(\frac{\partial \mathbf{u}}{\partial t} - \frac{\partial \mathbf{U}}{\partial t} \right), \end{aligned} \quad (2)$$

$$b_0 = \phi^2 \eta_f / K_{pr},$$

$$A = H - 2\mu - 2\phi C + \phi^2 M, \quad Q = \phi C - \phi^2 M; \quad R = \phi^2 M,$$

$$H = \frac{(K_s - K_b)^2}{D - K_b} + K_b + \frac{4\mu}{3}, \quad C = \frac{K_s (K_s - K_b)}{D - K_b},$$

$$M = \frac{K_s^2}{D - K_b}, \quad D = K_s \left[1 + m \left(\frac{K_s}{K_f} - 1 \right) \right],$$

$$\rho_{12} = \rho_f \phi (1 - \alpha_f), \quad \rho_{11} = (1 - \phi) \rho_s - \rho_{12}, \quad \rho_{22} = \phi \rho_f - \rho_{12},$$

где $\phi = \frac{V_f}{V}$ – эффективная пористость;

$\mathbf{w} = \phi(\mathbf{U} - \mathbf{u})$ – поток флюида относительно упругого скелета;

\mathbf{U} – вектор смещений во флюиде;

\mathbf{u} – вектор смещений в упругом скелете;

K_s – модуль объемного сжатия упругого скелета;

K_f – модуль объемного сжатия жидкости;

K_b – модуль объемного сжатия пористой среды при дренажных условиях;

μ – модуль сдвига пористой среды;

ρ_s – плотность матрицы упругого скелета;

ρ_f – плотность жидкости;

η – динамическая вязкость жидкости;

K_{pr} – проницаемость пористой среды;

α_f – извилистость (для песчаников $1.5 \leq \alpha_f \leq 5$, для песков $\alpha_f = 5$).

В компонентах уравнения (1) и (2) имеют вид

$$\begin{aligned} & \mu \sum_k \frac{\partial^2 u_i}{\partial x_k^2} + (A + \mu) \sum_k \frac{\partial}{\partial x_i} \frac{\partial u_k}{\partial x_k} + Q \phi \sum_k \frac{\partial}{\partial x_i} \left(\frac{\partial U_k}{\partial x_k} - \frac{\partial u_k}{\partial x_k} \right) = \\ & = \rho_{11} \frac{\partial^2 u_i}{\partial t^2} + \rho_{12} \frac{\partial^2 U_i}{\partial t^2} + b_0 \left(\frac{\partial u_i}{\partial t} - \frac{\partial U_i}{\partial t} \right), \end{aligned} \quad (3)$$

$$\begin{aligned} & Q \sum_k \frac{\partial}{\partial x_i} \frac{\partial u_k}{\partial x_k} + R \sum_k \frac{\partial}{\partial x_i} \frac{\partial U_k}{\partial x_k} = \\ & = \rho_{22} \frac{\partial^2 U_i}{\partial t^2} + \rho_{12} \frac{\partial^2 u_i}{\partial t^2} - b_0 \left(\frac{\partial u_i}{\partial t} - \frac{\partial U_i}{\partial t} \right). \end{aligned} \quad (4)$$

Пусть $S = (A + \mu - Q \phi)$, $G = Q \phi$, тогда вид уравнений существенно упрощается. Для u компоненты колебаний (волны SH), записывая через V и v – значения смещений частиц флюида и упругого скелета, соответственно, в направлении u , имеем:

$$\mu \left(\frac{\partial^2 \mathbf{v}}{\partial x^2} + \frac{\partial^2 \mathbf{v}}{\partial z^2} \right) = \rho_{11} \frac{\partial^2 \mathbf{v}}{\partial t^2} + \rho_{12} \frac{\partial^2 V}{\partial t^2} + b_0 \left(\frac{\partial \mathbf{v}}{\partial t} - \frac{\partial V}{\partial t} \right), \quad (5)$$

$$\rho_{22} \frac{\partial^2 V}{\partial t^2} + \rho_{12} \frac{\partial^2 \mathbf{v}}{\partial t^2} - b_0 \left(\frac{\partial \mathbf{v}}{\partial t} - \frac{\partial V}{\partial t} \right) = 0. \quad (6)$$

Для x компоненти колебаний (волны PV) имеем:

$$\begin{aligned} \rho_{11} \frac{\partial^2 u}{\partial t^2} + \rho_{12} \frac{\partial^2 U}{\partial t^2} = & \mu \left(\frac{\partial^2 u}{\partial x^2} + \frac{\partial^2 u}{\partial z^2} \right) + S \left(\frac{\partial}{\partial x} \frac{\partial u}{\partial x} + \frac{\partial}{\partial x} \frac{\partial w}{\partial z} \right) + \\ & + G \left(\frac{\partial}{\partial x} \frac{\partial U}{\partial x} + \frac{\partial}{\partial x} \frac{\partial W}{\partial z} \right) - b_0 \left(\frac{\partial u}{\partial t} - \frac{\partial U}{\partial t} \right), \end{aligned} \quad (7)$$

$$\begin{aligned} \rho_{12} \frac{\partial^2 u}{\partial t^2} + \rho_{22} \frac{\partial^2 U}{\partial t^2} = & Q \left(\frac{\partial}{\partial x} \frac{\partial u}{\partial x} + \frac{\partial}{\partial x} \frac{\partial w}{\partial z} \right) + R \left(\frac{\partial}{\partial x} \frac{\partial U}{\partial x} + \frac{\partial}{\partial x} \frac{\partial W}{\partial z} \right) + \\ & + b_0 \left(\frac{\partial u}{\partial t} - \frac{\partial U}{\partial t} \right), \end{aligned} \quad (8)$$

где U и u – смещения частиц флюида и упругого скелета, соответственно, в направлении x ;

W и w – смещения частиц флюида и упругого скелета, соответственно, в направлении z .

Аналогично для z компоненты колебаний имеем (волны SV):

$$\begin{aligned} \rho_{11} \frac{\partial^2 w}{\partial t^2} + \rho_{12} \frac{\partial^2 W}{\partial t^2} = & \mu \left(\frac{\partial^2 w}{\partial x^2} + \frac{\partial^2 w}{\partial z^2} \right) + S \left(\frac{\partial}{\partial z} \frac{\partial u}{\partial x} + \frac{\partial}{\partial z} \frac{\partial w}{\partial z} \right) + \\ & + G \left(\frac{\partial}{\partial z} \frac{\partial U}{\partial x} + \frac{\partial}{\partial z} \frac{\partial W}{\partial z} \right) - b_0 \left(\frac{\partial w}{\partial t} - \frac{\partial W}{\partial t} \right), \end{aligned} \quad (9)$$

$$\begin{aligned} \rho_{12} \frac{\partial^2 w}{\partial t^2} + \rho_{22} \frac{\partial^2 W}{\partial t^2} = & Q \left(\frac{\partial}{\partial z} \frac{\partial u}{\partial x} + \frac{\partial}{\partial z} \frac{\partial w}{\partial z} \right) + R \left(\frac{\partial}{\partial z} \frac{\partial U}{\partial x} + \frac{\partial}{\partial z} \frac{\partial W}{\partial z} \right) + \\ & + b_0 \left(\frac{\partial w}{\partial t} - \frac{\partial W}{\partial t} \right). \end{aligned} \quad (10)$$

Граничные условия задаются следующим образом. Величины смещений частиц упругого скелета и частиц флюида с учетом процедуры гашения отражений от границ счетной решетки долж-

ны быть равными нулю на внешних границах:

$$u(x,y,z)|_{\Gamma} = v(x,y,z)|_{\Gamma} = w(x,y,z)|_{\Gamma} = 0, \\ U(x,y,z)|_{\Gamma} = V(x,y,z)|_{\Gamma} = W(x,y,z)|_{\Gamma} = 0,$$

где Γ – множество граничных точек.

Предполагается, что до момента $t = 0$ вся область модели находилась в покое. Тогда во всей модели в соответствии с тем, что предполагается использовать явную схему метода конечных разностей с трехслойной схемой, необходимо задать начальные условия по правилу:

$$u(x,z,0) = w(x,z,0) = v(x,z,0t) = 0, \\ u(x,z, -\Delta t) = w(x,z, -\Delta t) = v(x,z, -\Delta t) = 0, \\ U(x,z,0) = W(x,z,0) = V(x,z,0t) = 0, \\ U(x,z, -\Delta t) = W(x,z, -\Delta t) = V(x,z, -\Delta t) = 0.$$

Для большинства вводимых величин физический смысл очевиден. Однако в модели Био представлены несколько дополнительных параметров, описывающих взаимодействие упругого скелета и флюида. Например, под эффективной пористостью понимают долю сообщающихся между собой пустот в общем объеме породы, через которые происходит движение флюидов, которая определяется соотношением

$$\phi = \frac{V_f}{V},$$

где V_f – объем сообщающихся между собой пустот;

V – общий объем породы.

В горном деле эту величину чаще всего называют открытой пористостью.

Дренажные условия соответствует состоянию пористой среды при постоянном поровом давлении ($P_f = const$). При проведении исследований механических свойств насыщенную флюидом породу помещают в непроницаемую эластичную оболочку. Флюид может свободно покидать оболочку через трубку.

В отличие от дренажного деформирования, недренажное деформирование происходит при постоянной массе флюида

($m_f = const$). При проведенні досліджень пористий образец також знаходиться в еластичній оболочці, однак флюїд не може її покинути.

Під проникністю розуміють здатність пропускати через себе флюїд, яку можна описати законом Дарсі, згідно з яким швидкість протікання флюїда через середу прямо пропорційна градієнту тиску і обернено пропорційна її динамічній в'язкості η :

$$\vec{v} = -\frac{K_{pr}}{\eta} \text{grad}(p). \quad (11)$$

Коефіцієнт пропорційності в (11) називається коефіцієнтом проникності.

Извилистость a_f є одним із введених Біо параметрів пористої середу, яка характеризує те відстань, яку проходить рідина або газ по поровому просторі з урахуванням того, що в напрямку градієнту тиску в залежності від форми пор може рухатися тільки частина флюїда. Для однорідної пористої структури, в якій всі пори орієнтовані в напрямку градієнту тиску, $\alpha_f = 1$. Теоретично, діапазон значень даного параметра лежить в межах $1 \leq \alpha_f < \infty$.

Величини p_{11} і p_{22} розглядаються в моделі Біо в якості «ефективних» мас упругої і рідкої фаз. Аналізуючи діапазон можливих значень извилистости a_f , можна зробити висновок, що $p_{12} < 0$. Виходячи з цього, значення «ефективних мас» кожної з фаз більше їх істинних мас.

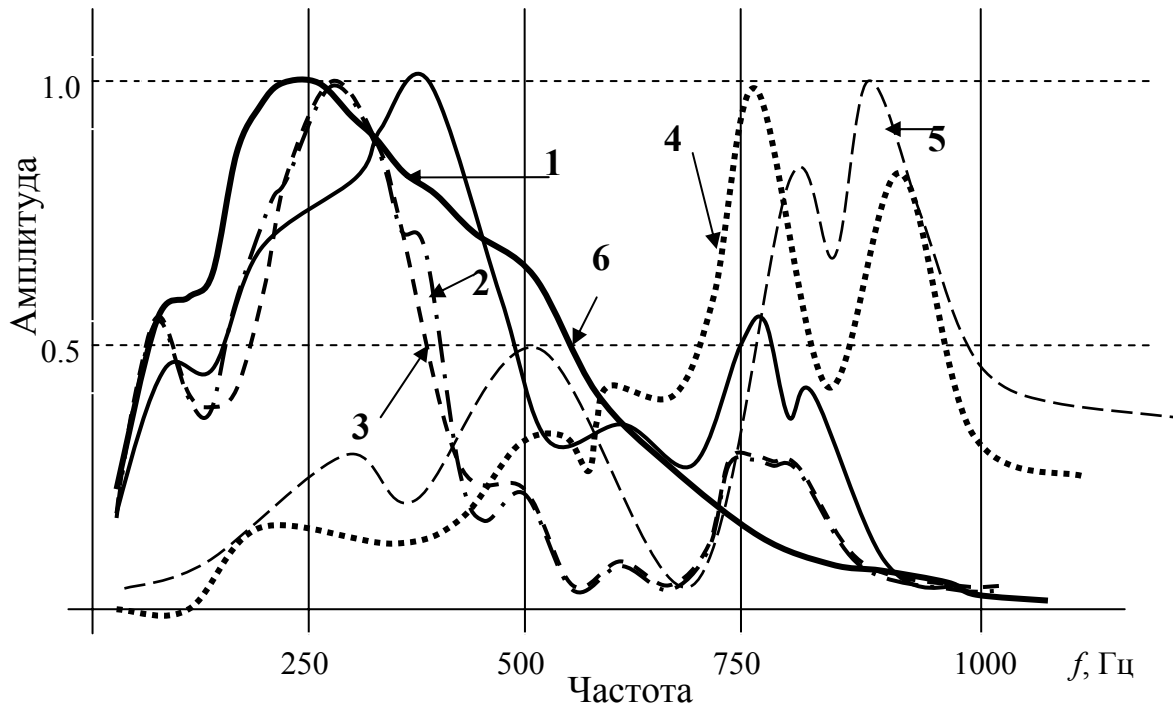
На основі отриманих співвідношень був розроблений алгоритм, а також і програмний модуль для розрахунку сейсмічних коливань в пористій середі. З його допомогою можна отримувати набори теоретичних сейсмотрас для довільно заданої розстановки сейсмоприймачів, а також послідовні картини розподілу зміщення частинок упругого скелета і флюїда в ході процесу поширення коливань. На основі цього були проведені розрахунки з використанням базових рівнянь (5) – (10), метою яких було встановити, наскільки дана модель працює в умовах вугленосних формацій.

При проведении исследований в качестве первоочередного выбран интервал петрофизического разреза Донбасса, вмещающий угли марки Ж, как наиболее типичный для основных отрабатываемых в настоящее время шахтных полей (ш. им. Засядько, ш. «Красноармейская-Западная № 1», ш. «Краснолиманская», и др.). Всего было проведено около 50 расчетов, в которых в диапазоне характерном для углей марки Ж варьировались характеристики угля и пород. Значения эффективной пористости изменялись от 0 до 40 %. Большинство расчетов производилось при максимальных значениях пористости, поскольку они соответствуют зонам трещиноватости и дробления пород в зонах аномалии (в этом случае более корректно говорить о трещиноватости). В качестве флюида использовалась вода и воздух. В отдельных экспериментах был использован метан. Использовались табличные значения вязкости воды и воздуха.

Предполагая водное насыщение, параметры флюида определялись так: плотность $\rho = 1.0 \text{ г/см}^3$, модуль объемного сжатия $k = 2.2 * 10^{10} \text{ дин/см}^2$, динамическая вязкость $\eta = 0.006 (\text{г * см}) / \text{с}$ (0.6 сантипуаз). Для трещиноватого угля при пористости 40 % значение проницаемости для воды бралось $300 * 10^{-8} \text{ см}^2$. Для извилистости в настоящих исследованиях при расчетах использовались значения в широком диапазоне $1.0 < a < 10.0$. При этом предполагалось, что значение $a = 1.0$ соответствует ориентации трещин вдоль напластования.

Спектр моделируемого источника выбирался таким, чтобы как можно шире охватывать область применения сейсмического метода в шахтных условиях. На рис. 1 изображены усредненные спектры различных типов волн, полученные по результатам расчетов. Нужно подчеркнуть тот факт, что выделить в пласте волну Био в виде распространяющегося в форме волнового пакета колебания удалось только на высоких частотах (более 400 Гц) и только на части моделей. В пласте существенное значение имеет интерференция волн различных типов, существенно усложняющая картину. Видно, что волны II типа проявляются на высоких частотах, как для воздуха, так и для воды. Однако их амплитуды как минимум в 10 раз слабее, чем амплитуды волн I рода. Приро-

да порового флюїда практично не змінює величини модуля зсуву, так що характеристики поперечних хвиль по скелету вугля хвиль змінюються в слабкій ступені.



- 1 – вихідний сигнал,
- 2 – продольна хвиля по скелету вугля, насиченого водою,
- 3 – продольна хвиля по скелету вугля, насиченого газом,
- 4 – продольна хвиля II роду в воді,
- 5 – продольна хвиля II роду в газі,
- 6 – поперечні хвилі по скелету вугля

Рис. 1. Усереднені нормовані спектри

Таким образом, согласно расчетам, определить природу флюида по изменению структуры и характеристик сигнала в рамках существующих методик затруднено. Тем не менее, тот факт, что в области сравнительно низких частот (до 500 Гц) волны Био теоретически могут наблюдаться, требует в дальнейшем более детального анализа.

В качестве альтернативного подхода можно предложить теорию Гассмана. Пусть материал скелета горных пород имеет плотность ρ_s и модуль всестороннего сжатия κ_s . Скелет имеет

пористость Φ и среднюю плотность $\bar{\rho}$, модуль всестороннего сжатия $\bar{\kappa}$, модуль сдвига $\bar{\mu}$ и модуль плоского деформирования \bar{M} . Флюид, насыщающий поровое пространство, имеет плотность ρ_f и модуль всестороннего сжатия κ_f . В целом порода совместно с флюидом имеет среднюю плотность ρ , модуль всестороннего сжатия κ , модуль сдвига μ и модуль плоского деформирования M .

В теории Гассмана [12, 13] предполагается, что флюид и частицы скелета движутся как единое целое, поэтому плотность ρ получается простым усреднением двух плотностей:

$$\rho = \Phi\rho_f + (1 - \Phi)\rho_s, \quad (12)$$

при этом флюид не оказывает на твердую фазу такого воздействия, которое могло бы изменить модуль сдвига скелета, т.е. $\mu = \bar{\mu}$.

Рассмотрим изолированный куб насыщенной флюидом породы, подвергаемый на всех гранях возрастающему напряжению Δp , приводящему к относительному изменению объема $(\Delta V / V)$. Тогда модуль всестороннего сжатия можно записать в виде:

$$\kappa = - \frac{\Delta p}{\left(\frac{\Delta V}{V} \right)}, \quad (13)$$

где общее давление Δp представляет собой сумму давления на скелет $\Delta \bar{p}$ и давления в жидкости Δp_f : $\Delta p = \Delta \bar{p} + \Delta p_f$, а для $\frac{\Delta V}{V}$ выполняются соотношения:

$$\frac{\Delta V}{V} = \left[-\frac{\Phi}{\kappa_a} - \frac{1-\Phi}{\kappa_s} \right] \Delta \rho_f - \frac{1}{\kappa_s} \Delta \bar{\rho} \quad \text{и} \quad \frac{\Delta V}{V} = -\frac{1}{\kappa_s} \Delta \rho_f - \frac{1}{\kappa} \Delta \bar{\rho}, \quad (14)$$

из которых можно получить, что модуль всестороннего сжатия флюидонасыщенной породы равен модулю сжатия скелета плюс член, зависящий от флюида:

$$\kappa = \bar{\kappa} + \frac{(1 - \bar{\kappa}/\kappa_s)^2}{\left[\Phi/\kappa_f + (1 - \Phi)/\kappa_s - \bar{\kappa}/\kappa_s^2 \right]}, \quad (15)$$

а модуль плоского деформирования выражается соотношением:

$$M = \bar{M} + \frac{(1 - \bar{\kappa}/\kappa_s)^2}{\Phi/\kappa_f + (1 - \Phi)/\kappa_s - \bar{\kappa}/\kappa_s^2}. \quad (16)$$

При этом, поскольку флюидонасыщенный материал ведет себя на низких частотах как изотропное упругое тело, плоские продольные и поперечные волны будут распространяться со скоростями

$$c_p = (M/\rho)^{1/2}, \quad c_s = (\mu/\rho)^{1/2}. \quad (17)$$

Таким образом, теория Гассмана позволяет, исходя из свойств скелета пород и свойств флюида, получить значения эффективных модулей упругости пористой среды, которые согласно теории не только имеют высокую степень соответствия реальности [12, 13].

Данные исследования были проведены в рамках научно-исследовательской работы «Теоретические и экспериментальные исследования процессов формирования геодинамических опасных зон в массиве горных пород и разработка фундаментальных основ мониторинга гео- и газодинамических явлений при горных работах», выполняемой в рамках совместного конкурса НАН Украины и Российского фонда фундаментальных исследований.

СПИСОК ССЫЛОК

1. Био М. А. Механика деформирования и распространения акустических волн в пористой среде // Механика. Период. сб. переводов иностр. статей. – 1963. – 6, N 82. – С. 103 – 134.
2. Biot M. A. General theory of three-dimensional consolidation // J. Appl. Phys. – 1941. – 12. – P. 155 – 164.
3. Френкель Я. И. К теории сейсмических и сейсмoeлектрических явлений во влажной почве // Изв. АН СССР. Сер. географ. и геофиз. – 1944. – 8, N 4. – С. 133 – 149.

4. Biot M. A. Theory of propagation of elastic waves in fluid-saturated porous solid. Part I. Low frequency range // *J. Acoust. Soc. Amer.* – 1956. – 28, N 2. – P. 168 – 178.
5. Biot M. A. Theory of propagation of elastic waves in fluid-saturated porous solid. Part II. Higher frequency range // *J. Acoust. Soc. Amer.* – 1956. – 28, N 2. – P. 179 – 191.
6. Био М. А. Теория упругости и консолидации анизотропной пористой среды // *Механика. Период. сб. переводов иностр. статей.* – 1957. – 1, N 35. – С. 140 – 147.
7. Tolstoy I. Acoustics, elasticity, and thermodynamics of porous media: Twenty-one papers by M. A. Biot. – New York: AIP Press, 1992. – 272 p.
8. Chotiros N. P., Lyons A. P., Pace N. G. Normal incidence reflection loss from sandy sediment // *J. Acoust. Soc. Amer.* – 2002. – 112, N 5, Pt 1. – P. 1831 – 1840.
9. Pride S. R., Garambois S. The role of Biot slow waves in electroseismic wave phenomena // *J. Acoust. Soc. Amer.* – 1985. – 111, N 2. – P. 697 – 706.
10. Silin D. B., Korneev V. A., Goloshubin G. M., Patzek T. W. Low frequency asymptotic analysis of seismic reflection from a fluid-saturated medium // *Transp. Por. Media.* – 2006. – 62. – P. 283 – 305.
11. While J. E. Computed seismic speed and attenuation in rocks with partial gas saturation // *Geophys.* – 1975. – 40. – P. 224 – 232.
12. Gassman F. Elastic waves through a packing of spheres / *Geophysics*, 16 1951, P.673 – 685.
13. Gassman F. Elastic waves through a packing of spheres / *Geophysics*, 18 1951, P.269.